

ГЕОЛОГИЯ РУДНЫХ МЕСТОРОЖДЕНИЙ

УДК 553.411.071, 553.21/.24

ФИЗИКО-ХИМИЧЕСКИЕ УСЛОВИЯ ОБРАЗОВАНИЯ ПРОДУКТИВНЫХ МИНЕРАЛЬНЫХ АССОЦИАЦИЙ ЗОЛОТОРУДНЫХ МЕСТОРОЖДЕНИЙ ТАЙМЫРО-СЕВЕРОЗЕМЕЛЬСКОГО ОРОГЕНА

© 2023 г. А. А. Боровиков^{1,*}, В. Ф. Проскурин^{2,**}, Г. А. Пальянова^{1,***},
член-корреспондент РАН О. В. Петров², академик РАН Н. С. Бортников³

Поступило 13.10.2022 г.

После доработки 18.10.2022 г.

Принято к публикации 19.10.2022 г.

Впервые, на основе данных изучения флюидных включений, установлены *PTX*-параметры формирования золоторудной минерализации Таймыро-Североземельского орогена. Температура образования золотых руд охватывает интервал от 310 до 105°C, давление было не ниже 110–96 МПа. Рудообразующие флюиды характеризовались $\text{NaCl} + \text{KCl} + \text{H}_2\text{O} + \text{CO}_2 + \text{CH}_4 + \text{N}_2$ составом и соленостью до 9.7 мас. % в экв. NaCl. Определен состав самородного золота (пробность варьирует преимущественно в интервале от 980 до 820%) и минералов продуктивных минеральных ассоциаций. Рудообразующие флюиды золото-сульфидно-кварцевых рудопроявлений аккреционной Шренк-Фадеевской зоны (Ясненское и Малиновское на Северо-Восточном Таймыре) являются более окисленными и менее солеными по сравнению с золото-кварцевыми проявлениями орогенного типа Мининско-Большевитской миогеоклинальной зоны (Нижнелиткенское, Видимое, Нерпичье).

Ключевые слова: месторождения Таймыро-Североземельского орогена, золоторудная минерализация, *PTX*-параметры и состав флюидов

DOI: 10.31857/S2686739722602198, **EDN:** SRAJNX

В последние годы особое внимание уделяется изучению минерально-сырьевой базы арктической зоны Российской Федерации [1]. Новой золотоносной провинцией в Центральном секторе Арктики России является Таймыро-Североземельский ороген [2–4]. Установленные рудопроявления с самородным золотом – Нижнелиткенское (о. Большевик), Видимое, Нерпичье, Конечнинское (Западный Таймыр), Светлинское и Малиновское (Северо-Восточный Таймыр) – являются типовыми для орогенных областей и наиболее перспективными золоторудными объектами [5–8]. В настоящей работе представлены первые

результаты исследований флюидных включений (ФВ) в кварце разных стадий формирования золоторудной минерализации этих рудопроявлений и выполнена оценка *PTX*-параметров и состава рудоносных флюидов. При изучении флюидных включений использованы методы крио- и термометрии, а также Раман-спектроскопии.

В Таймыро-Североземельской провинции выделяются позднепалеозойско-раннемезозойские Карская золотоносная и Быррангская угленосно-редкоземельно-полиметаллическая минерагенические области (рис. 1). Золоторудные проявления приурочены к Карской минерагенической области, в которой наиболее широко развиты гранитоиды орогенного типа [9].

По составу вмещающих пород докембрия Карская область подразделяется на две минерагенические зоны: Мининско-Большевистскую пассивно-окраинную флишоидно-терригенную углеродистую с проявлением зонального регионального метаморфизма и Шренк-Фадеевскую аккреционную вулканогенно-карбонатно-терригенную углеродистую с офиолитовыми, андезитовыми и контрастными базальт-риолитовыми комплексами.

Золотоносные минеральные ассоциации изучены из золото-кварцевых и золото-сульфидно-

¹Институт геологии и минералогии им. В.С. Соболева Российской академии наук, Новосибирск, Россия

²Всероссийский научно-исследовательский геологический институт им. А.П. Карпинского, Санкт-Петербург, Россия

³Институт геологии рудных месторождений, петрографии, минералогии и геохимии Российской академии наук, Москва, Россия

*E-mail: borovik@igm.nsc.ru

**E-mail: Vasily_Proskurnin@vsegei.ru

***E-mail: palyan@igm.nsc.ru

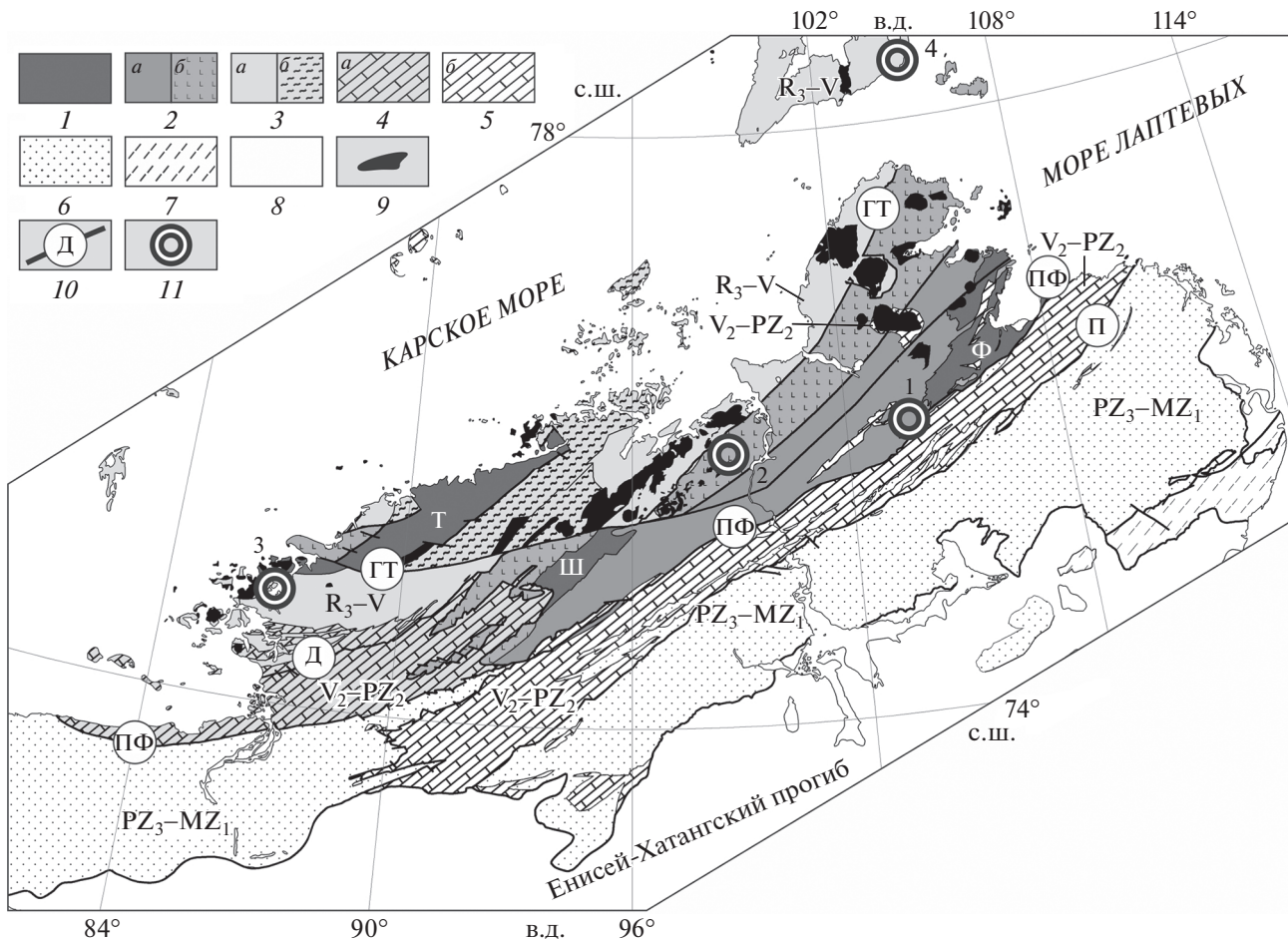


Рис. 1. Схема минерагенического районирования Таймыро-Североземельского орогена на структурно-геологической основе [7]. 1, 2, 3, 4 – Карская область: 1 – кратонные выступы (Ф – Фаддеевский, Ш – Шренк-Фаддеевский, Т – Тревожинский); 2 – Шренк-Фаддеевская акреционная рифейско-ранневендская зона (2 а – рифейской окраины Сибири, 2 б – энсиматических и энсиалических дуг позднего рифея-раннего венда); 3 – Мининско-Большевистская миогеоклинальная зона (терригенные рифейско-вендско-раннекембрийские образования, метаморфизованные в зелено-сланцевой (3 а) и амфиболитовой фации (3 б)); 4 – поздневендско-среднепалеозойские эпиплатформенные отложения черносланцевой зоны; 5, 6 – Быррангская область: 5 – поздневендско-среднепалеозойские эпиплатформенные отложения переходной и карбонатной зон; 6 – позднепалеозойско-раннемезозойские терригенные, трапповые и интрузивные эпиплатформенные образования; 7 – Восточнотаймырско-Оленекская область: позднепалеозойско-среднемезозойские терригенные эпиплатформенные складчатые образования; 8 – юрско-кайнозойский чехол; 9 – позднепалеозойские гранитоиды; 10 – главные разломы: ГТ – Главный Таймырский, Д – Диабазовый, ПФ – Пясино-Фаддеевский; П – Пограничный; Ч – Чернохребетниковский; 11 – потенциальные рудные узлы с золоторудными проявлениями (ЗР): Верхнеленинградский (1) с Ясеневским ЗР, Малиновско-Гагаринский (2) с Малиновским ЗР, Конечниковский (3) с Видимым, Нерпичьем и Конечниковским ЗР, Голышевский (4) с Нижнелиткенским ЗР.

кварцевых рудопроявлений Мининско-Большевистской (Нижнелиткенское на о. Большевик, Видимое, Нерпичье, Конечниковское на западном Таймыре) и Шренк-Фаддеевской (Ясеневское, Малиновское на севере Центрального Таймыра) зон (рис. 2, табл. 1).

Взаимоотношения и химический состав минералов исследованы методами оптической и сканирующей электронной микроскопии с помощью сканирующего электронного микроскопа MIRA 3 LMU (“Tescan Orsay Holding”), оснащенном системой микроанализа “INCA” Energy 450+

и волновым спектрометром INCA Wave 500, “Oxford Instruments” Nanoanalysis Ltd и частично описаны ранее [7].

В Мининско-Большевистской зоне рудопроявления приурочены к зонально метаморфизованным пассивноокраинным флишоидным терригенным углеродистым комплексам и связаны с тиманским и позднепалеозойским орогенезом.

Наиболее крупное самородное золото (до 1 см, в среднем 1–2 мм) с незначительными примесями Ag до 4 мас. % (пробность 960‰) установлено на рудопроявлении Нижнелиткенское. Оно ассо-

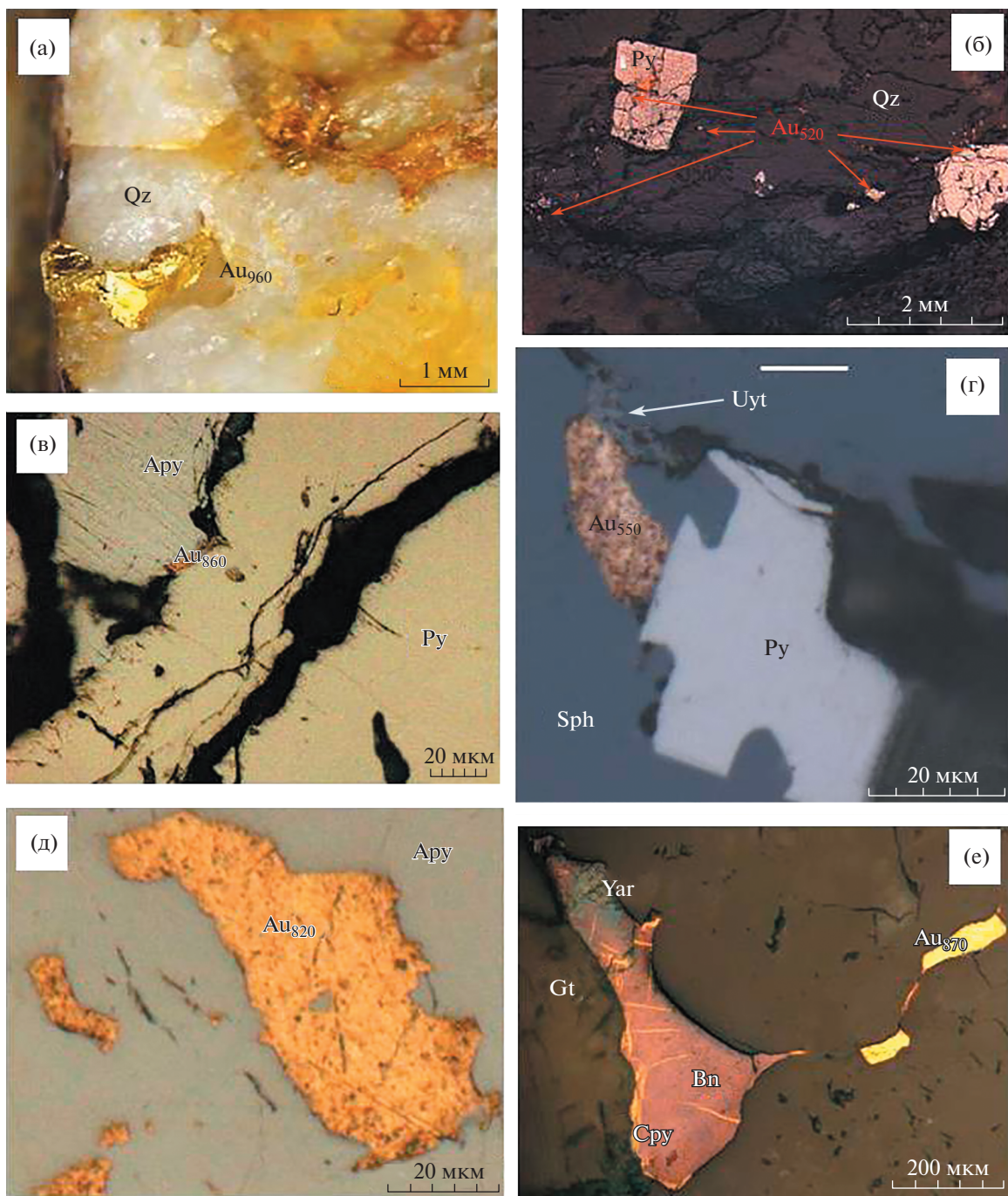


Рис. 2. Фотографии самородного золота из рудопроявлений Таймыра и о. Большевик: Нижнелиткенское (а), Видимое (б), Нерпичье (с), Конченнинское (д), Ясненское (е) и Малиновское (ф). Обозначения минералов: · Qz – кварц, Py – пирит, Apy – арсенопирит, Uyt – ютенбогаардтит, Sph – сфалерит, Bn – борнит, Cpy – халькопирит, Au_N – пробность самородного золота (%).

цирует с кварцем, Ni-содержащим пиритом, халькопиритом и галенитом.

На рудопроявлении Видимое самородное золото также высокой пробности (940–980%), преимущественно ячеистое и комковидное, заполняет микротрешины, поры в кварце, пирите и других минералах. В пирите обнаружены много-

численные включения пирротина, халькопирита и сфалерита, захваченные во время роста. Арсенопирит, галенит, теллуриды висмута, халькопирит и самородное золото отложились позже, т.к. выполняют трещины в пирите.

На рудопроявлении Нерпичье (зона кварцевых жил и прожилков в черных сланцах) самород-

Таблица 1. Характеристика и результаты РСМА самородного золота (в мас. %) рудопроявлений Таймыро-Североземельского орогена

М3	Рудопроявления	Размер	Форма	Структура	Состав, мас. %				$N_{\text{Au}}, \%$	Формула	Минеральные ассоциации
					Au	Ag	Cu	Zn*	Fe*		
Нижнелиткенское	<7 мм	ксеноморфная	однородная	95.96	4.15					960	$\text{Au}_{0.96}\text{Ag}_{0.04}$
Видимое	2–200 мкм до 2 мм	трещинно-прожилковая ячеистое, комковидное	однородная	93.5	6.5	<	<	<	<	940	$\text{Au}_{0.93}\text{Ag}_{0.07}$
Нерпичье	2–30 мкм	прожилковая, округлая, ксеноморфная	однородная	84.39	13.18	<	<	2.43	860	$\text{Au}_{0.72}\text{Ag}_{0.21}\text{Fe}_{0.07}$	
Конеччинское	5–20 мкм	Ксеноморфная	неоднородная	94.56	3.72			1.72	960	$\text{Au}_{0.88}\text{Ag}_{0.06}\text{Fe}_{0.06}$	
Ясненское	5–10 мкм 5–10 мкм 2–80 мкм	ксеноморфная ксеноморфная прожилковая, округлая	однородная однородная однородная	52.82 83.03 77.99	43.12 16.97 17.1	<	4.06 < <	<	550 830 3.26/ 1.66	$\text{Au}_{0.39}\text{Ag}_{0.53}\text{Zn}_{0.08}$ $\text{Au}_{0.73}\text{Ag}_{0.27}$ $\text{Cu}_{2.3}\text{Au}_{1.3}\text{Ag}_{0.2}\text{Fe}_{0.1}\text{Zn}_{0.1}$	Py, Asp, Ga, Sph, Uyt Py, Asp, Ga, Sph, Uyt $\text{Qz}, \text{Py}, \text{Cpy}, \text{Nkd}, \text{Kfs}, \text{Asp}, \text{Ten-Tet}, \text{Dol}$
Малиновское	до 150 мкм	трещинно-прожилковая	неоднородная	84.62	14.7	<	<	0.68	830	$\text{Au}_{0.74}\text{Ag}_{0.24}\text{Fe}_{0.02}$	$\text{Qz}, \text{Asp}, \text{Py}, \text{Kfs}, \text{Chl}$
				83.37	14.44			2.19	850	$\text{Au}_{0.71}\text{Ag}_{0.22}\text{Fe}_{0.07}$	
				91.84	8.16	<	<	<	920	$\text{Au}_{0.86}\text{Ag}_{0.14}$	$\text{Qz}, \text{Bn}, \text{Cpy}, \text{Yar}, \text{Anl}, \text{Gt}, \text{Del}, \text{Teng}$
				87.24	12.76	<	<	<	870	$\text{Au}_{0.79}\text{Ag}_{0.19}$	

Примечание: М3 – минерагеническая зона; пробность – $\text{M}_{\text{Au}} = \text{Au}/(\text{Au} + \text{Ag}) \times 100\%$; < меньше предела чувствительности Qz – кварц, Kfs – калиевый полевой шпат, Dol – доломит, Chl – хлорит, AuN – самородное золото (N – пробность), Py – пирит, Asp – арсенопирит, Sph – сфалерит, Ga – галенит, Cpy – халькопирит, Bn – борнит, Nkd – нукладит, Anl – анилит, Uyt – ютеноид, Yar – ярозит, Scor – скородит, Ten – тенорит, Dol – долофосит, Teng – тенорит. * примеси в самородном золоте скорее всего захвачены при РСМА-анализе из-за малых размеров зерен. Анализы на MIRA 3 LMU (Аналитический центр многоэлементных и изотопных исследований СО РАН, Новосибирск) выполнены при ускоряющем напряжении 20 кВ и токе пучка электронов 1.5 нА. Время набора спектров составляло 15–20 с. В качестве эталонов использованы: на Ag и Au – чистые металлы и Au–Ag-сплавы, на S, Cu, Fe – CuFeS₂, Pb – PbSe, Zn – ZnS. Пределы обнаружения элементов составляли десятые доли процента. Погрешность определения основных компонентов (>10–15 мас. %) не превышала 1 отн. %, а компонентов с концентрациями 1–10 мас. % – <2 отн. %.

ное золото пробностью 860–960% ассоциирует с пиритом, арсенопиритом и халькопиритом и заполняет трещины в кварце. В пирите его зерна пробностью (880–920%) размером 2–10 микрон округлой формы. Халькопирит, заполняющий трещины в As-содержащем пирите, содержит микровключения (2–5 микрон) более высокопробного золота. В зернах пирита присутствуют многочисленные микровключения — Ni-содержащего теннантита-(Fe), кубанита и халькопирита, минералов Bi и Pb.

Самородное золото рудопроявления Конечнинское, образующего штокверковую зону кварц-карбонат-сульфидных прожилков, встречается в ассоциации с пиритом, арсенопиритом, сфалеритом, галенитом, ютенбогаардитом [5]. Его размеры 5–20 микрон, пробность 550–830%.

В Шренк-Фаддеевской аккреционной зоне рудопроявления Ясненское и Малиновское приурочены к зонам сульфидизации, березитизации, лиственитизации в вулкано-плутонических комплексах с возрастом 830–860 и 630–660 млн лет соответственно.

Золото-рудопроявление Ясненское установлено в халькопирит-пирротин-пиритовой и арсенопирит-тетраэдрит-галенит-пиритовой ассоциациях. В первой ассоциации в межзерновом пространстве пирита, нукундамида выявлены минералы серии аурикуприд ($AuCu_3$)—тетрааурикуприд ($AuCu$). Оно содержит примеси Ag (до 5 мас. %). Во второй ассоциации самородное золото (830–850%) обнаружено в виде микровключений (2–80 микрон) в арсенопирите и пирите в кварц-калишпат-хлоритовом агрегате. В зональном пирите 3-й генерации пентагондодекадрического габитуса обнаружены микровключения самородного золота (820%) вместе с микровключениями арсенопирита, халькопирита, галенита, Ag-содержащего теннантита-(Fe), сфалерита, циркона, монацита, рутила и ксенотима.

Самородное золото рудопроявления Малиновское, выявленное в жильном кварце среди березитов, располагается в трещинах и находится в срастании с борнитом и халькопиритом, имеет размер до 130 микрон и вариации пробности от 870 до 920%. В крупных зернах борнита обнаружены микровключения гессита (Ag_2Te). Борнит и халькопирит замещаются ярроуитом (Cu_9S_8), анилитом (Cu_7S_4), гетитом $FeOON$, delaфосситом ($CuFeO_2$), теноритом (CuO).

Наиболее общие тенденции изменения минерального состава золотоносных ассоциаций рудопроявлений разных минерагенических зон (табл. 1) сводятся к следующему. В Мининско-Большевистской орогенной зоне на рудопроявлениях золотокварцевой формации Нижнелиткенское, Видимое самородное золото высокопробное (940–980%), главные минералы — кварц и

пирит, второстепенные арсенопирит и теллуриды висмута. В орогенных рудопроявлениях Нерпичье и Конечнинское самородное золото более низкопробное (960–830 до 550%), главные минералы — пирит, арсенопирит, халькопирит, второстепенные — сфалерит, галенит, ютенбогаардит, редко встречаются минералы висмута. В пределах Шренк-Фаддеевской аккреционной зоны на рудопроявлениях золото — сульфидно-кварцевой формации Ясненское, Малиновское самородное золото средней пробности (820–920%), в реликтах на Ясненском проявлении выявлено медистое золото, главные минералы — пирит, халькопирит, иногда борнит, второстепенные — арсенопирит, сфалерит, теллуриды серебра.

В кварце рудных жил с золотом из проявлений Нижнелиткенское (о-в Большевик), Видимое, Нерпичье, Конечнинское (Западный Таймыр), Ясненское и Малиновское (Северо-Восточный Таймыр) присутствуют двухфазные ФВ, содержащие жидкость и пузырь газа (тип L), а также существенно газовые флюидные включения, содержащие преимущественно газ (тип V) (рис. 3). В кварце золоторудных проявлений Нерпичье, Конечнинское и Малиновское двухфазные ФВ и газовые ФВ обогащены CO_2 и содержат ее жидкую fazu (типы L1 и V1). Все обнаруженные флюидные включения характеризуются очень малым размером не более 10 мкм. Вторичные включения, отчетливо приуроченные к системам трещин, преобладают в образцах. Для исследования методами термобарогеохимии выбирались ФВ, которые не обладают явными признаками вторичного происхождения, т.е. не приурочены к системам трещин. В кварце присутствуют соединства первичных ФВ, не приуроченных к трещинам, которые включают в себя как газовые, так и жидкие ФВ, находящихся в тесной ассоциации. Это свидетельствует о том, что в системе в момент отложения присутствовало два флюида: жидкий и газообразный, образовавшиеся при фазовой сепарации флюида (рис. 3 а).

По данным изучения ФВ методом КР-спектроскопии в газовой фазе содержится CO_2 , N_2 и CH_4 в переменном количестве (рис. 4 а). ФВ рудопроявлений Мининско-Большевитской миогеосинклинальной зоны характеризуются большим относительным количеством N_2 и CH_4 в своем составе по сравнению с проявлениями Шренк-Фаддеевской зоны.

Температура гомогенизации флюидных включений золоторудных проявлений Таймыро-Североземельского орогена охватывает интервал от 310 до 105°C (рис. 4 б, табл. 2). Плавление эвтектики двухфазных ФВ происходит в интервале температуры от –25 до –23.2°C, что близко к эвтектике водно-солевой системы $NaCl + KCl + H_2O$ – –23.5°C [10]. В двухфазных ФВ (тип L)

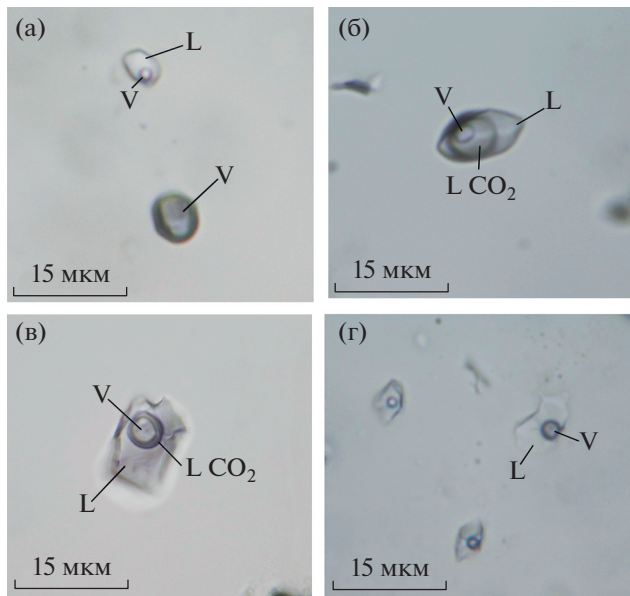


Рис. 3. Рудопроявление Нижнелиткенское (о-в Большевик), двухфазное (тип L) и газовое (тип V) флюидные включения синхронного захвата (а); месторождение Конечнинское газовое флюидное включение (тип VI), обогащенное CO_2 (б); рудопроявление Малиновское, двухфазное флюидное включение (тип L1) (с); рудопроявление Ясененское, двухфазные флюидные включения (тип L) (д).

при охлаждении вымораживается твердая фаза, которая идентифицировалась, как газовый кальцит-гидрат (ГКГ), либо как лед, если ее плавление происходило соответственно при температуре выше или ниже 0°C. Соленость ФВ на месторожде-

ниях (Видимое, Нижнелиткенское, Нерпичье и Ясененское) определялась по температуре плавления льда и варьирует от 9.7 до 1.7 мас. % в экв. NaCl [10].

Расчет солености двухфазных ФВ в эквиваленте системы $\text{H}_2\text{O}-\text{CO}_2-\text{NaCl}$ по температуре плавления ГКГ проведен только для проявлений Малиновское и Конечнинское, в которых в составе газовой фазы преобладает CO_2 от 100 до 96 мол. % [11, 12]. Согласно этим расчетам, двухфазные ФВ характеризуются средним составом $X_{\text{NaCl}} = 0.005$, $X_{\text{CO}_2} = 0.065$, $X_{\text{H}_2\text{O}} = 0.930$ и $X_{\text{NaCl}} = 0.07$, $X_{\text{CO}_2} = 0.144$, $X_{\text{H}_2\text{O}} = 0.849$ соответственно. Соленость двухфазных ФВ проявлений Малиновское и Конечнинское варьирует от 4.5 до 1.0 и от 3.4 до 1.8 мас. % в экв. NaCl соответственно (рис. 4 б, табл. 2). Таким образом, соленость двухфазных ФВ в жильном кварце золоторудных месторождений Таймыро-Североземельского орогена варьирует от 9.7 до 1.7 мас. % в экв. NaCl (рис. 4 б, табл. 2).

Для средних составов жидкой фазы ФВ проявлений Малиновское и Конечнинское в эквиваленте системы $\text{H}_2\text{O}-\text{CO}_2-\text{NaCl}$ были рассчитаны и построены кривые растворимости и изохоры по алгоритму Мэттью Стил-Макиннис [12]. На этом основании для рудопроявлений Малиновское и Конечнинское была сделана предварительная оценка минимального давления захвата ФВ. По результатам этих расчетов ФВ рудопроявлений Малиновское и Конечнинское могли быть захвачены при давлении не ниже 100 и 96 МПа соответственно (рис. 4 в).

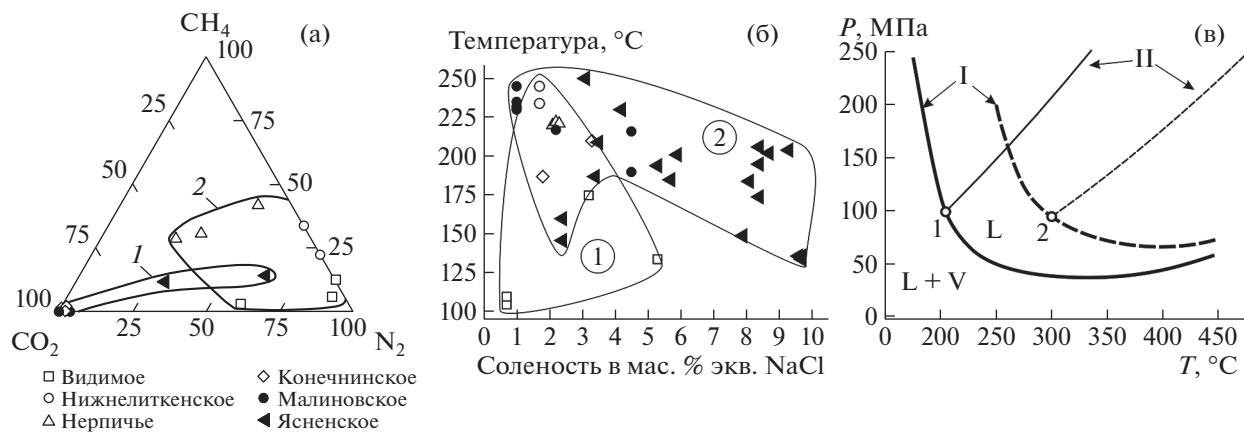


Рис. 4. (а) – диаграмма состава газовой фазы флюидных включений в кварце золоторудных проявлений Таймыро-Североземельского орогена. Поля составов газовой вазы ФВ: (1) – проявления Шренк-Фадеевской зоны (Малиновское, Ясененское); (2) – проявления Мининско-Большевитской миогеосинклинальной зоны (Видимое, Нижнелиткенское, Конечнинское, Нерпичье); (б) – температура гомогенизации и общая соленость жидкой фазы ФВ золоторудных проявлений Таймыро-Североземельского орогена. Проявления Мининско-Большевитской миогеосинклинальной зоны (1) и проявления Шренк-Фадеевской зоны (2); (в) – кривые растворимости (I) и изохоры (II), рассчитанные по Мэттью Стил-Макиннис [12] и Конечнинское (пунктир) в эквиваленте системы $\text{H}_2\text{O}-\text{CO}_2-\text{NaCl}$. PT-координаты точек (1 и 2) пересечения изохор с кривыми растворимости близки к параметрам захвата ФВ проявлений Малиновское и Конечнинское соответственно. Однофазная и двухфазная области системы $\text{H}_2\text{O}-\text{CO}_2-\text{NaCl}$: L – жидкость, L+V – жидкость + газ.

Таблица 2. Результаты изучения флюидных включений методами термо- и криометрии

Месторождение	Тип ФВ	N	Th	Teu	Tm газового кватратгидрата и льда	Th CO ₂ и тип гомогенизации	Соленость мас. % экв. NaCl	Состав газовой фазы
Нижнелиткенское	L	8	300–170 (l)	–23.2	+3.0...–1.0	–	1.7*	N ₂ –CH ₄
Видимое	L	10	178–105 (l)	–24.6	+2.7...–1.9	–	5.3–0.7*	N ₂ –CH ₄ –CO ₂
Нерпичье	L	3	222–221 (l)	–23.7	–1.2...–1.4	–	2.3–2.1*	N ₂ –CH ₄ –CO ₂
– “ –	V1	4	307–305(v)	–23.5	+10.8...+10.7	+15.2(v)	0.2**	CO ₂ –N ₂ –CH ₄
Конечнинское	L1	2	210–187 (l)	–24.7	+10...+8.3	+25.6 (v)	3.4**	CO ₂ –N ₂ –CH ₄
Малиновское	L1	10	245–190 (l)	–23.9	+9.5...+8.9	+31.6 (v)	4.5–1.0**	CO ₂ –N ₂
– “ –	L1	2	305–298 (c)	–24...–23	+9.1	+21.3 (l)	1.8*	CO ₂ –N ₂ –CH ₄
Ясененское	L	19	250–136 (l)	–25...–23	–6.4...–1.4	–	9.7–2.4*	N ₂ –CO ₂ –CH ₄

Примечание: * — соленость рассчитана в эквиваленте системы NaCl + H₂O и ** — в эквиваленте системы NaCl + H₂O + CO₂; Сокращения: ФВ — флюидное включение; N — количество изученных ФВ; Th — температура гомогенизации и ее тип: (c) — с критическими явлениями, (v) — в газовую и (l) — в жидкую фазу; Teu — температура эвтектики, Tm — температура плавления.

ОСНОВНЫЕ РЕЗУЛЬТАТЫ И ВЫВОДЫ

Предварительные данные изучения ФВ в рудном кварце золоторудной минерализации Таймыро-Североземельского орогена свидетельствуют о том, что месторождения золота образовались из водно-углекислотного флюида низкой — умеренной солености (H₂O + CO₂ ± N₂ ± CH₄ + NaCl + KCl) в результате фазовой сепарации флюида из-за падения давления при температурах от 310 до 105°C. Эта обстановка типична для большинства известных орогенных месторождений [1, 14, 15]. Выявлено существенное различие в составе газовой рудообразующих флюидов месторождений: Нижнелиткенское, Видимое и Нерпичье — N₂ и CH₄; Малиновское Конечнинское и Ясененское — CO₂, N₂ и CH₄. Основными солевыми компонентами флюидов являются NaCl и KCl. Первые результаты расчетов давления (заниженные из-за присутствия N₂ и CH₄ в составе флюидных включений) показывают, что образование золоторудных проявлений в аккреционных и орогенных условиях могло происходить при близком давлении (Малиновское, 100 МПа и Конечнинское, 96 МПа). Данные КР-спектроскопического изучения ФВ позволяют сказать, что рудообразующие флюиды золото-сульфидно-кварцевых рудопроявлений в аккреционных вулканогенно-плутонических комплексах Шренк-Фадеевской зоны, отвечающих по Н.А. Горячеву [13] до орогенной стадии (предыстории орогенной стадии), являются более окисленными и менее солеными по сравнению с золото-кварцевыми проявлениями орогенной формации в терригенных образованиях пассивной окраины Мининско-Большевитской миогеосинклинальной зоны.

Геодинамическая обстановка (приуроченность рудопроявлений к пассивноокраинным и аккреционным образованиям, широкое развитие

гранитоидов орогенного типа), вмещающие породы (метаморфизованные в зеленосланцевой фации углеродистые терригенные и вулканогенно-терригенные толщи), гидротермально-метасоматические изменения, сопровождающие оруденение (березитизация, лиственитизация), ассоциация самородного золота с пиритом и арсенопиритом, преимущественно высокая пробность самородного золота, а также физико-химические условия образования позволяют отнести рассматриваемые рудопроявления Карской минерагенической области к классу потенциальных орогенных месторождений золота [13–17].

ИСТОЧНИК ФИНАНСИРОВАНИЯ

Работа выполнена в рамках гранта Министерства науки и высшего образования РФ № 13.1902.21.0018 “Фундаментальные проблемы развития минерально-сырьевой базы высокотехнологичной промышленности и энергетики России”.

СПИСОК ЛИТЕРАТУРЫ

1. Бортников Н.С., Лобанов К.В., Волков А.В. и др. // Геология руд. месторождений. 2015. Т. 57. № 6. С. 3–25.
2. Шануренко Н.К., Фокин В.И., Радина Е.С. Перспективы и проблемы создания сырьевых баз золотоносных и платинометалльно-медно-никелевых руд в центральном секторе арктической зоны России. 70 лет в Арктике, Антарктике и Мировом океане. Сборник научных трудов / Под ред. В.Д. Каминского, Г.П. Автисова, В.Л. Иванова. СПб.: ВНИИОКеангология, 2018. 554 с.
3. Сердюк С.С. Золотоносные провинции Центральной Сибири: геология, минерагения и перспективы освоения. Красноярск: КНИИГиМС, 2004. 480 с.
4. Додин Д.А. Минерагения Арктики. Кн. 1. СПб., Наука, 2008, 298 с.

5. Проскурнин В.Ф., Пальянова Г.А., Карманов Н.С., Багаева А.А., Гавриш А.В., Петрушков Б.С. Первая находка ютенбогаардтита на Таймыре (рудопроявление Конечное) // ДАН. 2011. Т. 441. № 4. С. 1–5.
6. Проскурнин В.Ф., Гавриш А.В., Петрушков Б.С., Багаева А.А., Шнейдер А.Г., Лоренц Д.А., Салтанов В.А. Новый тип золото-сульфидно-кварцевого оруденения в аккреционной зоне Таймыра (Результаты поисковых работ на Верхнеленинградской площади) // Регион. геология и металлогения. 2015. № 63. С. 105–117.
7. Проскурнин В.Ф., Пальянова Г.А., Гавриш А.В., Петрушков Б.С., Багаева А.А., Бортников Н.С. Геология, минеральные ассоциации и состав самородного золота минеральных месторождений Таймыро-Североземельского орогена // ДАН. 2019. Т. 484. № 1. С. 71–76.
8. Пальянова Г.А. Минералы золота и серебра в сульфидных рудах // Геология рудных месторождений. 2020. № 5. С. 426–449.
9. Vernikovsky V.A., Vernikovskaya A., Proskurnin V., Matushkin N., Proskurnina M., Kadilnikov P., Larionov A., Travin A. Late Paleozoic–Early Mesozoic granite magmatism on the Arctic margin of the Siberian Craton during the Kara–Siberia oblique collision and plume events // Minerals. 2020. V. 10 (6), 571. <https://doi.org/10.3390/min10060571>
10. Roedder E. Fluid inclusions // Reviews in Mineralogy. 1984. V. 12 (ed. Ribbe P.H.), 644 pp. Mineralogical Society of America, Washington.
11. Akinfiev N.N., Diamond L.W. Thermodynamic model of aqueous $\text{CO}_2\text{--H}_2\text{O}\text{--NaCl}$ solutions from –22 to 100°C and from 0.1 to 100 MPa // Fluid Phase Equilibria. 2010. V. 295. P. 104–124.
12. Steele-MacInnis M. Fluid inclusions in the system $\text{H}_2\text{O}\text{--NaCl}\text{--CO}_2$: An algorithm to determine composition, density and isochore // Chemical Geology. 2018. V. 498. P. 31–44.
13. Горячев Н.А. Золоторудообразующие системы орогенных поясов // Вестник СВНЦ ДВО РАН. 2006. № 1. С. 2–16.
14. Kerrich R., Goldfarb R., Groves D., Garwin S. Jia Yiefei. The characteristics, origins, and geodynamic settings of supergiant gold metallogenic provinces // Science in China (ser. D). 2000. 43. Supp. P. 1–68.
15. Groves D.I., Goldfarb R.J., Robert F., Hart C.Jr. Gold deposits in metamorphic belts: Overview of current understanding, outstanding problems, future research, and exploration significance // Economic Geology. 2003. V. 98. P. 1–29.
16. Прокофьев В.Ю. Геохимические особенности рудообразующих флюидов гидротермальных месторождений золота различных генетических типов (по данным исследования флюидных включений). Новосибирск: Наука, 2000. 192 с.
17. Бортников Н.С., Прокофьев В.Ю., Викентьева О.В. Источники, состав и РТ параметры флюидов в метатермальных золотообразующих системах. В сб. Новые горизонты в изучении процессов магмато-рудообразования. Материалы научной конференции, место издания ИГЕМ РАН Москва, 2010. С. 406–407.

PHYSICO-CHEMICAL CONDITIONS FOR THE FORMATION OF PRODUCTIVE MINERAL ASSOCIATIONS OF GOLD DEPOSITS OF THE TAIMYR-NORTH EARTH ORGEN

A. A. Borovikov^{a, #}, V. F. Proskurnin^{b, ##}, G. A. Palyanova^{a, ###},

Corresponding Member of the RAS O. V. Petrov^c, and Academician of the RAS N. S. Bortnikov^c

^aInstitute of Geology and Mineralogy V.S. Soboleva of the Russian Academy of Sciences, Novosibirsk, Russian Federation

^bKarpinsky All-Russian Research Geological Institute, St. Petersburg, Russian Federation

^cInstitute of Geology of Ore Deposits, Petrography, Mineralogy and Geochemistry of the Russian Academy of Sciences, Moscow, Russian Federation

[#]E-mail: borovik@igm.nsc.ru

^{##}E-mail: Vasily_Proskurnin@vsegei.ru

^{###}E-mail: palyan@igm.nsc.ru

For the first time, based on the data of the study of fluid inclusions, the PTX parameters of the formation of gold mineralization of the Taimyr-Severozemelsky orogen were established. The temperature of formation of gold ores covers the range from 310 to 105°C, the pressure was not lower than 110–96 MPa. The ore-forming fluids were characterized by $\text{NaCl} + \text{KCl} + \text{H}_2\text{O} + \text{CO}_2 + \text{CH}_4 + \text{N}_2$ composition and salinity up to 9.7 wt. % in equiv. NaCl. The composition of native gold (fineness varies from 960 to 550‰) and minerals of productive mineral associations has been determined. Ore-forming fluids of gold-sulfide-quartz ore occurrences of the accretionary Schrenk-Fadeevskaya zone (Yasnenskoye and Malinovskoye in North-East Taimyr) are more oxidized and less saline compared to the gold-quartz occurrences of the orogenic type of the Mininsko-Bolshevitskaya myogeoclinal zone (Nizhnelitkenskoye, Vidimoe, Nerpychye).

Keywords: deposits of the Taimyr-Severozemelsky orogen, gold mineralization, PTX parameters and fluid composition